

## ГЛАВА II

### НОВЫЙ НЕПЕРТУРБАТИВНЫЙ МЕТОД И УРАВНЕНИЯ ДЛЯ МНОГОФЕРМИОННЫХ ФУНКЦИЙ ГРИНА В КВАНТОВОЙ ЭЛЕКТРОДИНАМИКЕ

Многочастичные релятивистские уравнения для функций Грина, в том числе и уравнение БС, необходимы для описания в рамках КТП связанных состояний, а также для описания рассеяния элементарной частицы на композитных частицах, рассеяния связанных состояний, для изучения таких непертурбативных явлений, как спонтанное нарушение симметрии и т.п. Хорошо известно и сравнительно детально изучено двухчастичное релятивистское уравнение – уравнение БС. Иначе обстоит дело с обобщением уравнения БС в случае трех и более частиц. Такое обобщение для произвольного числа частиц дано Хуангом и Уелдоном в работе [149]. Это обобщение основано на анализе фейнмановских диаграмм ТВ, а все утверждения относительно структуры ядра уравнения имеют исключительно пертурбативный смысл и они строятся на диаграммном языке, т.е. все утверждения формулируются словесно и не поддаются формализации, что весьма затрудняет исследование. Метод преобразований Лежандра, производящего функционала функций Грина, является естественным языком для описания многочастичных уравнений. Итерационная схема, предложенная в работах [201, 205, 202, 210], основной идеей которой, является аппроксимация функционально-дифференциальных уравнений ШД уравнениями с “постоянными”, т.е. не зависящими от источников коэффициентами, дает возможность получить точные уравнения для функций частиц любого количества.

#### 2.1. Уравнения Бете-Солпитера в квантовой электродинамике

В настоящем разделе, на примере КЭД, приводим основные идеи нового

непертурбативного метода и получаем различные уравнения БС, где также находим частное решение уравнения БС для волновой функции псевдоскалярных связанных состояний.

### 2.1.1. Новый непертурбативный метод в квантовой электродинамике

Рассмотрим теорию спинорного поля  $\psi(x)$  (электрон), взаимодействующего с абелевым калибровочным полем  $A_\mu(x)$  (фотон) в  $n$ -мерном пространстве Минковского с метрикой  $x^2 = x_\mu x_\mu = x_0^2 - x_1^2 - \dots - x_{n-1}^2$ . (Для упрощения обозначений мы все векторные индексы пишем внизу) [205]. Лагранжиан имеет вид:

$$L = -\frac{1}{4} F_{\mu\nu} F_{\mu\nu} - \frac{1}{2d_l} (\partial_\mu A_\mu)^2 + \bar{\psi} (i\hat{\partial} - m + e\hat{A})\psi. \quad (2.1)$$

Здесь  $F_{\mu\nu} = \partial_\mu A_\nu - \partial_\nu A_\mu$ ;  $\hat{A} \equiv A_\mu \gamma_\mu$ ;  $\bar{\psi} = \psi^* \gamma_0$ ;  $m$  – масса электрона;  $e$  – заряд (константа связи);  $d_l$  – калибровочный параметр;  $\gamma_\mu$  – матрицы Дирака.

Производящий функционал функций Грина (вакуумных средних  $T$ -произведения полей) может быть представлен в виде функционального интеграла [205]

$$G(J, \eta) = \int D(\psi, \bar{\psi}, A) \exp i \left\{ \int dx (L + J_\mu(x) A_\mu(x)) - \int dx dy \bar{\psi}^\beta(y) \eta^{\beta\alpha}(y, x) \psi^\alpha(x) \right\}. \quad (2.2)$$

Здесь  $J_\mu(x)$  – источник калибровочного поля, а  $\eta^{\beta\alpha}(y, x)$  – бислокальный источник спинорного поля ( $\alpha$  и  $\beta$  – спинорные индексы). Нормировочная постоянная опущена.

Функциональные производные  $G$  по источникам есть вакуумные средние:

$$\frac{\delta G}{\delta J_\mu(x)} = i\langle 0|A_\mu(x)|0\rangle, \quad \frac{\delta G}{\delta \eta^{\beta\alpha}(y,x)} = i\langle 0|T\{\psi^\alpha(x)\bar{\psi}^\beta(y)\}|0\rangle. \quad (2.3)$$

Эвристический вывод уравнений ШД для производящего функционала  $G$  основан на соотношениях ( см. [13, с.72-80])

$$0 = \int D(\psi, \bar{\psi}, A) \frac{\delta}{\delta A_\mu(x)} \exp i \left\{ \int dx (L + J_\mu(x) A_\mu(x)) - \int dx dy \bar{\psi}(y) \eta(y, x) \psi(x) \right\}, \quad (2.4)$$

$$0 = \int D(\psi, \bar{\psi}, A) \frac{\delta}{\delta \bar{\psi}(x)} \bar{\psi}(y) \exp i \left\{ \int dx (L + J_\mu(x) A_\mu(x)) - \int dx dy \bar{\psi}(y) \eta(y, x) \psi(x) \right\}. \quad (2.5)$$

Произведя в (2.4) и (2.5) дифференцирования и принимая во внимания (2.3), получаем уравнения ШД для производящего функционала функций Грина КЭД [205]

$$\left( g_{\mu\nu} \partial^2 - \partial_\mu \partial_\nu + \frac{1}{d_1} \partial_\mu \partial_\nu \right) \frac{1}{i} \frac{\delta G}{\delta J_\nu(x)} + i \text{etr} \left\{ \gamma_\mu \frac{\delta G}{\delta \eta(x, x)} \right\} + J_\mu(x) G = 0, \quad (2.6)$$

$$\delta(x-y)G + (i\hat{\partial} - m) \frac{\delta G}{\delta \eta(y, x)} + \frac{e}{i} \gamma_\mu \frac{\delta^2 G}{\delta J_\mu(x) \delta \eta(y, x)} - \int dx' \eta(x, x') \frac{\delta G}{\delta \eta(y, x')} = 0. \quad (2.7)$$

Здесь и в дальнейшем  $\partial_\mu$  означает дифференцирование по переменной  $x$ , дифференцирование по другим переменным будет обозначаться указанием этой переменной в качестве верхнего индекса. Для того, чтобы не загромождать изложение, мы рассмотрим пока перенормированную теорию. По вопросам перенормировки уравнений ШД можно обратиться в [205], здесь также можно получить тождество Уорда.

При  $e = 0$ , уравнения ШД (2.6) и (2.7) имеют решение

$$G^{free} = \exp \left\{ \frac{1}{2i} J_\mu \otimes D_{\mu\nu}^c \otimes J_\nu + Tr \log(1 + S^c \otimes \eta) \right\},$$

где

$$D_{\mu\nu}^c = \left[ g_{\mu\nu} \partial^2 - \partial_\mu \partial_\nu + \frac{1}{d_l} \partial_\mu \partial_\nu \right]^{-1} \quad \text{и} \quad S^c = (m - i\hat{\partial})^{-1}$$

есть пропагаторы свободных полей,  $\otimes$  – умножение в операторном смысле, а  $Tr$  – означает взятие следов в операторном смысле. Функционал  $G^{free}$  является производящим функционалом функций Грина свободных полей и составляет основу для итерационной схемы ТВ по константе связи  $e$ .

Для решения уравнений ШД (2.6) и (2.7) воспользуемся итерационной схемой, предложенной в [201, 205, 208, 210], основной идеей которой, является аппроксимация функционально-дифференциальных уравнений ШД (2.6) и (2.7) уравнениями с “постоянными”, т.е. не зависящими от источников  $J_\mu$  и  $\eta$  коэффициентами. Таким образом, мы аппроксимируем функционально-дифференциальные уравнения ШД вблизи точки  $J_\mu = 0, \eta = 0$ . Поскольку объектом вычислений являются функции Грина, т.е. производные  $G$  в нуле, то такая аппроксимация выглядит вполне естественной. Немаловажным обстоятельством является то, что главное приближение в такой схеме является весьма простым, легко выписываются также и уравнения для всех последующих приближений. В каждом порядке итераций функции Грина определяются как решения замкнутой системы уравнений. Технически эта

схема не сложнее ТВ по константе связи и в отличие от последней содержит информацию, в принципе недоступную в любом конечном порядке ТВ [205].

Итак, в качестве уравнений главного приближения, выбираем систему функционально-дифференциальных уравнений [205]

$$\left( g_{\mu\nu} \partial^2 - \partial_\mu \partial_\nu + \frac{1}{d_l} \partial_\mu \partial_\nu \right) \frac{1}{i} \frac{\delta G^{(0)}}{\delta J_\nu(x)} + i \text{etr} \left\{ \gamma_\mu \frac{\delta G^{(0)}}{\delta \eta(x,x)} \right\} = 0, \quad (2.8)$$

$$\delta(x-y) G^{(0)} + (i\hat{\partial} - m) \frac{\delta G^{(0)}}{\delta \eta(y,x)} + \frac{e}{i} \gamma_\mu \frac{\delta^2 G^{(0)}}{\delta J_\mu(x) \delta \eta(y,x)} = 0. \quad (2.9)$$

Решением уравнений (2.8) и (2.9) для главного приближения является функционал:

$$G^{(0)} = \exp \{ i V_\mu \otimes J_\mu + \text{Tr} S \otimes \eta \}, \quad (2.10)$$

где  $V_\mu(x)$  и  $S(x,y)$  есть решения уравнений

$$\left( g_{\mu\nu} \partial^2 - \partial_\mu \partial_\nu + \frac{1}{d_l} \partial_\mu \partial_\nu \right) V_\nu(x) + i \text{etr} \{ \gamma_\mu S(x,x) \} = 0, \quad (2.11)$$

$$\delta(x-y) + (i\hat{\partial} - m) S(x,y) + e \hat{V}(x) S(x,y) = 0. \quad (2.12)$$

В соответствии с выбором главного приближения  $i$ -ый член итерационного разложения производящего функционала [205]

$$G = G^{(0)} + G^{(1)} + \dots + G^{(i)} + \dots \quad (2.13)$$

и есть решение уравнений итерационной схемы

$$\left( g_{\mu\nu} \partial^2 - \partial_\mu \partial_\nu + \frac{1}{d_l} \partial_\mu \partial_\nu \right) \frac{1}{i} \frac{\delta G^{(i)}}{\delta J_\nu(x)} +$$

$$+ i \text{etr} \left\{ \gamma_\mu \frac{\delta G^{(i)}}{\delta \eta(x, x)} \right\} = - J_\mu(x) G^{(i-1)}, \quad (2.14)$$

$$\delta(x-y) G^{(i)} + (i\hat{\partial} - m) \frac{\delta G^{(i)}}{\delta \eta(y, x)} +$$

$$+ \frac{e}{i} \gamma_\mu \frac{\delta^2 G^{(i)}}{\delta J_\mu(x) \delta \eta(y, x)} = \int dx' \eta(x, x') \frac{\delta G^{(i-1)}}{\delta \eta(y, x')}. \quad (2.15)$$

Решение уравнений (2.14) и (2.15) будем искать в виде

$$G^{(i)} = P^{(i)} G^{(0)}. \quad (2.16)$$

С учетом уравнений (2.11) и (2.12) система уравнений для  $P^{(i)}$  принимает вид

$$\left( g_{\mu\nu} \partial^2 - \partial_\mu \partial_\nu + \frac{1}{d_l} \partial_\mu \partial_\nu \right) \frac{1}{i} \frac{\delta P^{(i)}}{\delta J_\nu(x)} + i \text{etr} \left\{ \gamma_\mu \frac{\delta P^{(i)}}{\delta \eta(x, x)} \right\} = - J_\mu(x) P^{(i-1)}, \quad (2.17)$$

$$(i\hat{\partial} - m) \frac{\delta P^{(i)}}{\delta \eta(y, x)} + \frac{e}{i} \gamma_\mu \frac{\delta^2 P^{(i)}}{\delta J_\mu(x) \delta \eta(y, x)} + e \hat{V}(x) \frac{\delta P^{(i)}}{\delta \eta(y, x)} +$$

$$+ \frac{e}{i} \gamma_\mu S^{(0)}(x, y) \frac{\delta P^{(i)}}{\delta J_\mu(x)} = \int dx' \eta(x, x') \left\{ \frac{\delta P^{(i-1)}}{\delta \eta(y, x')} + S^{(0)}(x', y) P^{(i-1)} \right\}. \quad (2.18)$$

Поскольку  $P^{(0)} \equiv 1$ , то очевидно, что при любом  $i$  функционал  $P^{(i)}$  есть полином от функциональных переменных  $J$  и  $\eta$ . Это обстоятельство весьма

важно, так как оно означает, что система уравнений для коэффициентных функций этого функционала является замкнутой в каждом порядке итерационной схемы [205].

Следует также отметить, что в этой итерационной схеме нет малого параметра. Его роль играют, в некотором смысле, источники  $J$  и  $\eta$ . Разложение производящего функционала (2.13) нужно понимать как аппроксимацию  $G(J, \eta)$  вблизи точки  $J_\mu = 0$ ,  $\eta = 0$ , т.е. вместо вопроса о малом параметре следует ставить вопрос о сходимости итерационного ряда [201, 205].

Главное приближение описывается формулой (2.10) и уравнениями (2.11), (2.12). Для сохранения Пуанкаре-инвариантности теории, в (2.12) положим  $V_\mu \equiv 0$ . В результате получим:

$$\text{tr} \{ \gamma_\mu S(x, x) \} = 0. \quad (2.19)$$

В соответствии с определением

$$S(x - y) \equiv \left. \frac{\delta G}{\delta \eta(y, x)} \right|_{J=\eta=0}, \quad (2.20)$$

где  $S^{(0)}$  есть пропагатор электрона в главном приближении и из Пуанкаре-инвариантности следует, что

$$S(x, y) = S(x - y). \quad (2.21)$$

Тогда имеем,

$$S(x, x) = S(0) = \int \frac{dp}{(2\pi)^n} S(p). \quad (2.22)$$

При выполнении условий (2.20)-(2.22) решением уравнения (2.12) является свободный пропагатор

$$S = S^c = (m - i\hat{\partial})^{-1}. \quad (2.23)$$

Для решения (2.23), выполнение условия (2.19) эквивалентно условию регуляризации

$$0 = \int d\tilde{p} \frac{P_\mu}{m^2 - p^2}. \quad (2.24)$$

Итак, производящий функционал главного приближения имеет вид

$$G^{(0)} = \exp\{Tr S^c \otimes \eta\}. \quad (2.25)$$

Отметим, что из (2.19) следует, что единственной связной функцией Грина главного приближения является пропагатор электрона. Остальные связные функции Грина появятся в следующих шагах итераций (см. ниже). Из формулы (2.25) следует также, что производящий функционал главного приближения не обладает полной ферми-симметрией. Из определения производных производящего функционала как вакуумных средних  $T$ -произведений полей следует, что ферми-симметрия накладывает на *полный* производящий функционал требование [205]:

$$\frac{\delta^2 G}{\delta \eta^{\beta\alpha}(y, x) \delta \eta^{\beta'\alpha'}(y', x')} = - \frac{\delta^2 G}{\delta \eta^{\beta'\alpha'}(y', x) \delta \eta^{\beta\alpha}(y, x')}. \quad (2.26)$$

Очевидно, что для  $G^{(0)}$ , определенного формулой (2.25), условие (2.26) не выполняется. Нарушение этого условия приводит к тому, что в несвязной двухчастичной (четырёхточечной) электронной функции главного приближения, равной

$$S_2^{(0)}(x, y; x', y') \equiv \left. \frac{\delta^2 G^{(0)}}{\delta \eta^{\beta\alpha}(y, x) \delta \eta^{\beta'\alpha'}(y', x')} \right|_{J=\eta=0} =$$



$$= S^c(x-y) S^c(x'-y'), \quad (2.27)$$

не хватает члена  $-S^c(x-y') S^c(x'-y)$ , т.е. нарушается ее связная структура. Такая ситуация является довольно типичной для непertурбативных вычислительных схем с биллокальным источником, например, для  $1/N$ -разложения в формализме биллокального источника. Действительно, условию (2.26) должен удовлетворять *полный* производящий функционал  $G$ , являющийся *точным* решением уравнений ШД (2.6) и (2.7). Свойства связности и ферми симметрия высших функций Грина, не выполняющиеся на первых шагах итерации, *улучшается* на последующих шагах. Также отметим, что в данной итерационной схеме функции Грина есть не что иное, как коэффициенты разложения производящего функционала в окрестности нуля. Поэтому при первых шагах аппроксимации хорошо описываются только низшие функции, а в главном приближении – только пропагатор электрона. Высшие многочастичные функции появляются в следующих шагах, и по мере продвижения к точному решению, соотношение (2.26) выполняется все точнее [205].

Решение уравнений первого шага согласно (2.16) будем искать в виде

$$G^{(1)} = P^{(1)} G^{(0)}.$$

Полином  $P^{(1)}$  есть решение уравнений (2.17) и (2.18) при  $i=1$  и  $V_\mu \equiv 0$ . Это решение имеет вид [205]

$$\begin{aligned} p^{(1)} = & \frac{1}{2} \eta \otimes S_2 \otimes \eta + S \otimes \eta + \frac{1}{2i} J_\mu \otimes D_{\mu\nu}^{(1)} \otimes J_\nu + \\ & + J_\mu \otimes F_\mu^{(1)} \otimes \eta + iA_\mu^{(1)} \otimes J_\mu \end{aligned} \quad (2.28)$$

В соответствии с данными выше определениями,  $S_2(x, y, x', y')$  – двухэлектронная функция;  $S^{(1)}(x - y)$  – поправка к пропагатору электрона;  $D_{\mu\nu}^{(1)}(x - y)$  – пропагатор фотона;  $F_{\mu}^{(1)}(x; x', y')$  – трехточечная функция;  $A_{\mu}^{(1)}$  – вакуумное среднее поля фотона. Верхний индекс указывает на то, что это величины первого шага итерационной схемы. Уравнения для функций первого шага следуют из уравнений (2.17) и (2.18) при  $i = 1$  и  $V_{\mu} \equiv 0$  и имеют вид [205]:

$$\left( g_{\mu\nu} \partial^2 - \partial_{\mu} \partial_{\nu} + \frac{1}{d_l} \partial_{\mu} \partial_{\nu} \right) D_{\nu\lambda}^{(1)}(x - y) + i \text{etr} \left\{ \gamma_{\mu} F_{\lambda}^{(1)}(y|x, x) \right\} = g_{\mu\lambda} \delta(x - y), \quad (2.29)$$

$$\left( g_{\mu\nu} \partial^2 - \partial_{\mu} \partial_{\nu} + \frac{1}{d_l} \partial_{\mu} \partial_{\nu} \right) F_{\nu}^{(1)}(x|x', y') = \text{etr} \left\{ \gamma_{\mu} S_2(x, x; x', y') \right\}, \quad (2.30)$$

$$\left( g_{\mu\nu} \partial^2 - \partial_{\mu} \partial_{\nu} + \frac{1}{d_l} \partial_{\mu} \partial_{\nu} \right) A_{\nu}^{(1)}(x) + i \text{etr} \left\{ \gamma_{\mu} S^{(1)}(x, x) \right\} = 0, \quad (2.31)$$

$$\begin{aligned} (i\widehat{\partial} - m) S_2(x, y; x', y') - ie \gamma_{\mu} S^c(x - y) F_{\mu}^{(1)}(x|x', y') = \\ = \delta(x - y') S^c(x' - y), \end{aligned} \quad (2.32)$$

$$(i\widehat{\partial} - m) F_{\lambda}^{(1)}(z|x, y) = e \gamma_{\mu} S^c(x - y) D_{\mu\lambda}^{(1)}(x - z), \quad (2.33)$$

$$(i\widehat{\partial} - m) S^{(1)}(x - y) - ie \gamma_{\mu} F_{\mu}^{(1)}(x|x, y) + e \gamma_{\mu} S^c(x - y) A_{\mu}^{(1)}(x) = 0. \quad (2.34)$$

Аналогично (2.19), наложив на  $S^{(1)}$  условие:  $\text{tr} \left\{ \gamma_{\mu} S^{(1)} \right\} = 0$ , тогда из (2.31)

следует, что для  $A_\mu^{(1)}$  существует тривиальное решение  $A_\mu^{(1)} \equiv 0$ .

Из уравнения (2.33) получим [205]

$$F_\lambda^{(1)}(z|x, y) = -e \int dx' S^c(x-x') \gamma_\mu S^c(x'-y) D_{\mu\lambda}^{(1)}(x'-z). \quad (2.35)$$

Подставляя (2.35) в (2.29), после простых преобразований получим

$$(D_{\mu\nu}^{(1)})^{-1} = (D_{\mu\nu}^c)^{-1} + \Pi_{\mu\nu}, \quad (2.36)$$

где

$$\Pi_{\mu\nu}(x) = ie^2 \text{tr} \{ \gamma_\mu S^c(x) \gamma_\nu S^c(-x) \} \quad (2.37)$$

есть петля свободных электронов.

Из тождества Уорда следует, что  $\Pi_{\mu\nu}$  поперечно в импульсном пространстве:

$$\Pi_{\mu\nu}(k) = \Pi(k) \pi_{\mu\nu}, \quad (2.38)$$

где  $\pi_{\mu\nu} = g_{\mu\nu} - \frac{k_\mu k_\nu}{k^2}$  – поперечный проектор. С учетом (2.39) окончательно

получим ( в импульсном пространстве)

$$D_{\mu\nu}^{(1)}(k) = \frac{1}{-k^2 + \Pi(k^2)} \pi_{\mu\nu} - d_1 \frac{k_\mu k_\nu}{(k^2)^2}. \quad (2.39)$$

Из уравнения (2.32) для двухэлектронной функции получаем [205]

$$S_2 \begin{pmatrix} x, y \\ x', y' \end{pmatrix} = -S^c(x-y') S^c(x'-y) +$$

$$+ ie^2 \int dx_1 dx_2 S^c(x-x_1) \gamma_\mu S^c(x_1-y) D_{\mu\nu}^{(1)}(x_1-x_2) S^c(x'-x_2) \gamma_\nu S^c(x_2-y'), \quad (2.40)$$

а из уравнения (2.34) получаем:

$$\begin{aligned} S^{(1)}(x-y) &= \\ &= ie^2 \int dx_1 dx_2 S^c(x-x_1) \gamma_\mu S^c(x_1-x_2) D_{\mu\nu}^{(1)}(x_1-x_2) \gamma_\nu S^c(x_2-y). \end{aligned} \quad (2.41)$$

Таким образом, получены выражения для всех функций первого шага.

Рассмотренную выше итерационную схему можно видоизменить так, чтобы она стала нечувствительной к тривиальности, т.е. пригодной для непертурбативных вычислений в КЭД. Для того чтобы перейти к этой модификации итерационной схемы, решим уравнение ШД (2.6) относительно первой производной производящего функционала по  $J_\mu$  [205]:

$$\frac{1}{i} \frac{\delta G}{\delta J_\mu(x)} = - \int dx_1 D_{\mu\nu}^c(x-x_1) \left\{ J_\nu(x_1) G + i \text{etr} \gamma_\nu \frac{\delta G}{\delta \eta(x_1, x_1)} \right\} \quad (2.42)$$

и подставим во второе уравнение ШД (2.7). Таким образом получим проинтегрированное по  $A_\mu$  уравнение

$$\begin{aligned} \delta(x-y)G + (i\hat{\partial} - m) \frac{\delta G}{\delta \eta(y, x)} - ie^2 \int dx_1 D_{\mu\nu}^c(x-x_1) \gamma_\mu \frac{\delta}{\delta \eta(y, x)} \text{tr} \gamma_\nu \frac{\delta G}{\delta \eta(x_1, x_1)} = \\ = \int dx_1 \left\{ \eta(x, x_1) \frac{\delta G}{\delta \eta(y, x_1)} + e D_{\mu\nu}^c(x-x_1) J_\nu(x_1) \gamma_\mu \frac{\delta G}{\delta \eta(y, x)} \right\}. \end{aligned} \quad (2.43)$$

Учитывая условие ферми-симметрии (2.26), уравнение (2.43) перепишем в следующем виде

$$\delta(x-y)G + (i\hat{\partial} - m) \frac{\delta G}{\delta \eta(y, x)} + ie^2 \int dx_1 D_{\mu\nu}^c(x-x_1) \gamma_\mu \frac{\delta}{\delta \eta(x_1, x)} \text{tr} \gamma_\nu \frac{\delta G}{\delta \eta(y, x_1)} =$$

$$= \int dx_1 \left\{ \eta(x, x_1) \frac{\delta G}{\delta \eta(y, x_1)} + e D_{\mu\nu}^c(x - x_1) J_\nu(x_1) \gamma_\mu \frac{\delta G}{\delta \eta(y, x)} \right\}. \quad (2.44)$$

С точки зрения точных решений уравнения (2.43) и (2.44) полностью эквивалентны, поскольку переход от (2.43) к (2.44) есть, по сути, тождественное преобразование. Однако это не так с точки зрения используемой нами итерационной схемы, поскольку, как уже указывалось выше, соотношение (2.26) для каждого конечного шага итерационной схемы является лишь приближительным. Поэтому уравнения (2.43) и (2.44) приводят к различным разложениям, причем в отличие от уравнения (2.43), приводящего, по сути, к той же схеме вычислений, что и рассмотренная выше, уравнение (2.44), которое дает нам продуктивную непertурбативную схему вычислений физических величин.

В соответствии с общим принципом построения итераций, в качестве главного приближения выбираем уравнения (2.43) и (2.44), в коэффициентах которых положено  $J_\mu = 0, \eta = 0$ , т.е. уравнения [205]

$$\begin{aligned} & \delta(x - y)G + (i\hat{\partial} - m) \frac{\delta G^{(0)}}{\delta \eta(y, x)} + \\ & + \frac{e^2}{i} \int dx_1 D_{\mu\nu}^c(x - x_1) \gamma_\mu \frac{\delta}{\delta \eta(y, x)} tr \gamma_\nu \frac{\delta G^{(0)}}{\delta \eta(x_1, x_1)} = 0 \end{aligned} \quad (2.45)$$

и

$$\begin{aligned} & \delta(x - y)G^{(0)} + (i\hat{\partial} - m) \frac{\delta G^{(0)}}{\delta \eta(y, x)} + \\ & + ie^2 \int dx_1 D_{\mu\nu}^c(x - x_1) \gamma_\mu \frac{\delta}{\delta \eta(x_1, x)} \gamma_\nu \frac{\delta G^{(0)}}{\delta \eta(y, x_1)} = 0, \end{aligned} \quad (2.46)$$

соответственно.

Оба этих уравнения имеют решением функционал

$$G^{(0)} = \exp\{Tr S * \eta\} , \quad (2.47)$$

но в то время, как для характеристического уравнения, соответствующего уравнению (2.45), решением по-прежнему является свободный пропагатор  $S = S^c$  с условием (2.19), то для уравнения (2.46) характеристическое уравнение имеет вид

$$[S]^{-1}(x) = (m - i\hat{\partial})\delta(x) - ie^2 D_{\mu\nu}^c(x) \gamma_\mu S(x) \gamma_\nu , \quad (2.48)$$

т.е. является нетривиальным нелинейным уравнением для  $S$ . Отметим, что при  $m = 0$  (киральная граница) в поперечной калибровке  $d_l = 0$  это уравнение имеет простое решение

$$S = -1/i\hat{\partial} . \quad (2.49)$$

Уравнение итераций в соответствии с (2.44) и (2.46) имеет вид

$$\begin{aligned} & \delta(x-y)G^{(i)} + (i\hat{\partial} - m) \frac{\delta G^{(i)}}{\delta \eta(y,x)} + \\ & + ie^2 \int dx_1 D_{\mu\nu}^c(x-x_1) \gamma_\mu \frac{\delta}{\delta \eta(x_1,x)} \gamma_\nu \frac{\delta G^{(i)}}{\delta \eta(y,x_1)} = \\ & = \int dx_1 \left\{ \eta(x,x_1) \frac{\delta G^{(i-1)}}{\delta \eta(y,x_1)} + e D_{\mu\nu}^c(x-x_1) \gamma_\nu(x_1) \gamma_\nu \frac{\delta G^{(i-1)}}{\delta \eta(y,x)} \right\} . \end{aligned} \quad (2.50)$$

Решением уравнения первого шага является:

$$G^{(1)} = P^{(1)} G^{(0)},$$

где

$$P^{(1)} = \frac{1}{2} \eta \otimes S_2 \otimes \eta + S^{(1)} \otimes \eta + J_\mu \otimes F_\mu^{(1)} \otimes \eta. \quad (2.51)$$

С учетом уравнения главного приближения (2.46) и характеристического уравнения (2.48) для трехточечной функции  $F_\lambda^{(1)}$ , двухэлектронной функции  $S_2$  и поправки к пропагатору  $S^{(1)}$  получаем следующие уравнения (см. также [40, 205]):

$$\begin{aligned} F_\lambda^{(1)}(z; x, y) = & -e \int dx_1 D_{\lambda\mu}^c(z - x_1) S(x - x_1) \gamma_\mu S(x_1 - y) + \\ & + ie^2 \int dx_1 dy_1 D_{\lambda\mu}^c(x_1 - y_1) S(x - x_1) \gamma_\mu F_\lambda^{(1)}(z; x_1; y_1) \gamma_\nu S(y_1 - y), \end{aligned} \quad (2.52)$$

$$S_2 \begin{pmatrix} x, y \\ x', y' \end{pmatrix} = -S(x - y') S(x' - y) +$$

$$+ ie^2 \int dx_1 dy_1 D_{\mu\nu}^c(x_1 - y_1) S(x - x_1) \gamma_\mu S_2 \begin{pmatrix} x_1, y_1 \\ x', y' \end{pmatrix} \gamma_\nu S(y_1 - y), \quad (2.53)$$

$$S^{(1)}(x - y) = ie^2 \int dx_1 dy_1 D_{\mu\nu}^c(x_1 - y_1) S(x - x_1) \gamma_\mu S_2 \begin{pmatrix} x_1, y_1 \\ y_1, y \end{pmatrix} \gamma_\nu +$$

$$+ ie^2 \int dx_1 dy_1 D_{\mu\nu}^c(x_1 - y_1) S(x - x_1) \gamma_\mu S^{(1)}(x_1 - y_1) \gamma_\nu S(y_1 - y). \quad (2.54)$$

Графические изображения уравнений (2.53) и (2.54) приведены на рис. 2.1-2.2,

соответственно.

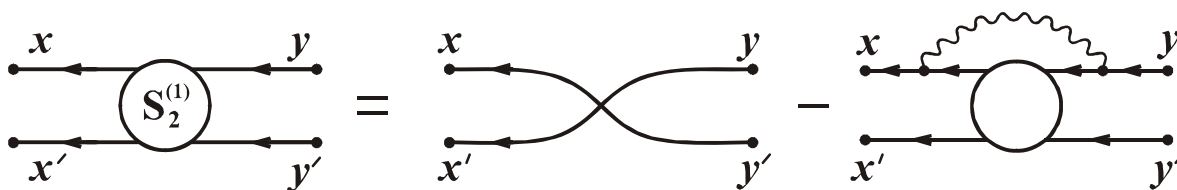


Рис. 2.1 Уравнение (2.53)

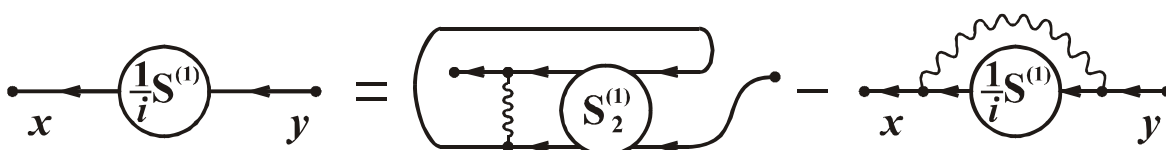


Рис. 2.2 Уравнение (2.54)

Здесь и далее используются графические правила приведенные на рис. 2.3.

$$\begin{aligned}
 \text{---} &= \frac{1}{i} \mathbf{S} \\
 \text{---} \text{---} &= i \mathbf{D}_{\mu\nu}^c \\
 \text{---} \text{---} &= e \gamma_\mu
 \end{aligned}$$

Рис. 2.3 Графические правила в КЭД

Как видно уравнения (2.52)-(2.54) первого шага гораздо сложнее, чем уравнения (2.29)-(2.34), которые на языке диаграмм соответствуют суммированию “цепочек”, общие решения (2.35)-(2.41) которых приведены выше.



## 2.1.2. Лестничное уравнение Бете-Солпитера в квантовой электродинамике

Уравнения (2.52)-(2.54) и характеристическое уравнение (2.48) на языке диаграмм соответствует известному лестничному приближению. Такие уравнения для отдельных функций Грина многократно исследовались (см. [82, 90, 103]) как простейшие непертурбативные аппроксимации для точных уравнений Дайсона, образующих бесконечную систему зацепляющихся уравнений [123]. Отметим, что в работе [205] приведено в кирально-симметричное решение уравнения (2.52) для трехточечной функции при малых импульсах поперечной калибровки  $d_l = 0$  и подробно рассмотрена проблема ДНКС. А в работе [18] сделана попытка решения данного уравнения при больших значениях импульса.

Теперь подробно исследуем уравнение двухэлектронной функции  $S_2$  (2.53) первого шага итераций.

После проведения Фурье-преобразования уравнение (2.53) приобретает следующий вид [40]:

$$\begin{aligned} \tilde{S}_2 \left( \begin{array}{c} p_x, p_y \\ p_{x'}, p_{y'} \end{array} \right)_{\alpha\beta}^{\alpha'\beta'} = & -S^{\alpha\beta'}(p_x) S^{\alpha'\beta}(p_y) \tilde{\delta}(p_{x'} - p_y) \tilde{\delta}(-p_{y'} + p_x) + \\ & + ie^2 \int dp_1 D_{\mu\nu}^c(p_x - p_1) \times \\ & \times S^{\alpha\alpha_1}(p_x) \gamma_\mu^{\alpha_1\alpha_2} \tilde{S}_2 \left( \begin{array}{c} p_1, p_y - p_x + p_1 \\ p_{x'}, p_{y'} \end{array} \right)_{\alpha'\beta'}^{\alpha_2\beta_2} \gamma_\nu^{\beta_2\beta_1} S^{\beta_1\beta}(p_y), \end{aligned} \quad (2.55)$$

где введены следующие условные обозначения:  $\tilde{\delta}(p) = (2\pi)^D \delta(p)$  и  $\tilde{S}_2 = (2\pi)^D S_2$ .

Определим структуру итераций. Нулевое приближение такое [40]:

$$\tilde{S}_2^{(0)} \begin{pmatrix} p_x, p_y \\ p_{x'}, p_{y'} \end{pmatrix} = -S(p_x)S(p_y)\tilde{\delta}(p_x + p_{x'} - p_y - p_{y'})\tilde{\delta}(p_x - p_{y'}) . \quad (2.56)$$

Подставляя (2.56) ( при этом заменяя импульсы следующим образом:  $p_x \rightarrow p_1$  ,  $p_y \rightarrow p_1 + p_y - p_x$ ;  $p_{x'} \rightarrow p_{x'}$ ;  $p_{y'} \rightarrow p_{y'}$ ) в подынтегральное выражение уравнения (2.55) получим первое приближение [40]:

$$\begin{aligned} \tilde{S}_2 \begin{pmatrix} p_x, p_y \\ p_{x'}, p_{y'} \end{pmatrix}_{\alpha\beta}^{\alpha\beta} &= -ie^2 \int d\tilde{p}_1 D_{\mu\nu}(p_x - p_1) S^{\alpha\alpha_1}(p_x) \gamma_\mu^{\alpha_1\alpha_2} S_2(p_1) \times \\ &\times S_2^{(0)}(p_1 + p_y - p_x) \tilde{\delta}(p_x + p_{x'} - p_y - p_{y'}) \tilde{\delta}(p_1 - p_{y'}) \gamma_\mu^{\beta_2\beta_1} S^{(0)\beta_1\beta}(p_y) . \end{aligned} \quad (2.57)$$

Из (2.57) вытекает следующее определение:

$$\tilde{S}_2 \begin{pmatrix} p_x, p_y \\ p_{x'}, p_{y'} \end{pmatrix} \equiv \tilde{\delta}(p_x + p_{x'} - p_y - p_{y'}) S_2 \begin{pmatrix} p_x, p_y \\ p_{x'}, p_{y'} \end{pmatrix} . \quad (2.58)$$

Используя определение (2.58) (также, при подстановке (2.58) в подынтегральное выражение, заменяя импульсы следующим образом  $p_x \rightarrow p_1$  ,  $p_y \rightarrow p_1 + p_y - p_x$ ;  $p_{x'} \rightarrow p_{x'}$ ;  $p_{y'} \rightarrow p_{y'}$ ) в (2.55) для двухфермионной функции  $S_2$  в лестничном приближении в первом шаге итерационной схемы, получим следующее уравнение [40]:

$$\tilde{S}_2 \begin{pmatrix} p_x, p_y \\ p_{x'}, p_{y'} \end{pmatrix}_{\alpha'\beta'}^{\alpha\beta} = -S^{\alpha\beta'}(p_x) S^{\alpha'\beta}(p_y) \tilde{\delta}(p_x - p_{y'}) +$$

$$\begin{aligned}
& + ie^2 \int d\tilde{p}_1 D_{\mu\nu}(p_x - p_1) \times \\
& \times S^{\alpha\alpha_1}(p_x) \gamma_\mu^{\alpha_1\alpha_2} S_2 \begin{pmatrix} p_1, p_y - p_x + p_1 \\ p_{x'}, p_{y'} \end{pmatrix} \gamma_\nu^{\beta_2\beta_1} S^{\beta_1\beta}(p_y). \quad (2.59)
\end{aligned}$$

Из  $\delta$ -функции (2.58) вытекает закон сохранения энергии

$$p_x - p_y = p_{y'} - p_{x'}.$$

Уравнение (2.59) с обеих сторон умножая на обратное,  $[S]^{-1}$ , далее переходя к полному импульсу:

$$P = p_x - p_y = p_{y'} - p_{x'}$$

и относительным импульсам:

$$k = \frac{p_x + p_y}{2}, \quad k' = \frac{p_{x'} + p_{y'}}{2},$$

уравнение (2.59) перепишем в следующем виде [40]:

$$\begin{aligned}
& \left[ S^{\alpha\alpha_1} \left( k + \frac{P}{2} \right) \right]^{-1} S_2^{\alpha_1\beta_1, \alpha'\beta'}(k, k'; P) \left[ S^{\beta_1\beta} \left( k - \frac{P}{2} \right) \right]^{-1} = \tilde{\delta}(k - k') \delta^{\alpha\beta'} \delta^{\alpha'\beta} + \\
& + ie^2 \int d\tilde{k}_1 D_{\mu\nu}(k - k_1) \gamma_\mu^{\alpha\alpha_2} S_2^{\alpha_2\beta_2, \alpha'\beta'}(k_1, k'; P) \gamma_\nu^{\beta_1\beta}. \quad (2.60)
\end{aligned}$$

Графический вид уравнения (2.60) приведен на рис.2.4.

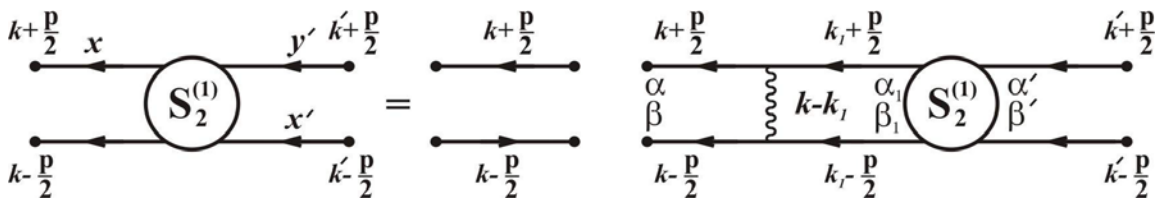


Рис. 2.4 Лестничное уравнение БС в КЭД

### 2.1.3. Уравнения Бете-Солпитера для связанных состояний

Для дальнейшего исследования уравнения (2.60) переходим к связанным состояниям [40]:

$$S_2^{\alpha\beta, \alpha'\beta'}(k, k'; P) = \frac{\chi^{\alpha\beta}(k) \bar{\chi}^{\alpha'\beta'}(k')}{M^2 - P^2} + [S_2^{\alpha\beta, \alpha'\beta'}]^{\text{Reg}}, \quad (2.61)$$

$$S_2^{\alpha_1\beta_1, \alpha'\beta'}(k_1, k'; P) = \frac{\chi^{\alpha_1\beta_1}(k_1) \bar{\chi}^{\alpha'\beta'}(k')}{M^2 - P^2} + [S_2^{\alpha_1\beta_1, \alpha'\beta'}]^{\text{Reg}}. \quad (2.62)$$

Функции (2.61) и (2.62) подставляя в (2.60), а далее умножая полученное уравнение с обеих сторон на обратное  $[\bar{\chi}^{\beta'\beta''}]^{-1}$  в пределе  $P^2 = M^2$  (учитывая, что  $\bar{\chi}^{\beta\alpha\beta'} [\bar{\chi}^{\beta'\beta''}]^{-1} = \delta^{\alpha'\beta'}$ ) получим [40]

$$\begin{aligned} & \left[ S^{\alpha\alpha_1} \left( k + \frac{P}{2} \right) \right]^{-1} \chi^{\alpha_1\beta_1}(k) \left[ S^{\beta_1\beta} \left( k - \frac{P}{2} \right) \right]^{-1} = \\ & = ie^2 \int d\tilde{k}_1 D_{\mu\nu}(k - k_1) \gamma_\mu^{\alpha\alpha_1} \chi^{\alpha_1\beta_1}(k_1) \gamma_\nu^{\beta_1\beta}. \end{aligned} \quad (2.63)$$

Уравнение (2.63) есть уравнение БС для связанных состояний, графический вид которого приведен на рис. 2.5.

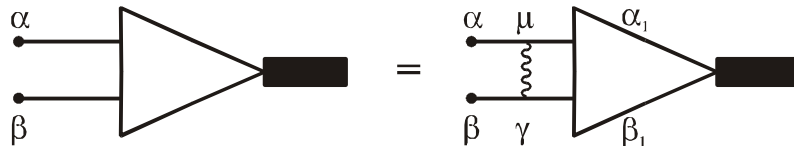


Рис. 2.5 Уравнения БС для связанных состояний

Из уравнения главного приближения (2.48) вытекает, что

$$\left[ S^{\alpha\beta} \left( \left( k \pm \frac{P}{2} \right) \right) \right]^{-1} = \left[ S^{\alpha\beta} \left( \left( k \pm \frac{P}{2} \right) \right) \right]^{-1} + \Sigma^{\alpha\beta} \left( \left( k \pm \frac{P}{2} \right) \right), \quad (2.64)$$

где

$$\Sigma = ie^2 D_{\mu\nu}^c \gamma_\mu (S \otimes \Sigma \otimes S) \gamma_\nu.$$

Отметим, что в киральном пределе ( $m=0$ ) в калибровке Ландау  $d_i=0$  уравнение (2.48) имеет простое решение [40]

$$S^{-1} = -\hat{P}. \quad (2.65)$$

С учетом (2.64) и (2.65) уравнение (2.63) напишем так,

$$\begin{aligned} & \left[ -\left( \hat{k} + \frac{\hat{P}}{2} \right) + \Sigma \left( k + \frac{P}{2} \right) \right]^{\alpha\alpha_1} \chi^{\alpha_1\beta_1}(k) \left[ -\left( \hat{k} - \frac{\hat{P}}{2} \right) + \Sigma \left( k - \frac{P}{2} \right) \right]^{\beta_1\beta} = \\ & = ie^2 \int d\tilde{k}_1 D_{\mu\nu}(k-k_1) \gamma_\mu^{\alpha\alpha_1} \chi^{\alpha_1\beta_1}(k_1) \gamma_\nu^{\beta_1\beta} \end{aligned} \quad (2.66)$$

Учитывая, что

$$\Sigma^{\alpha\beta}(p) = \sigma_1 \hat{p}^{\alpha\beta} + \sigma_2 \delta^{\alpha\beta},$$

из уравнения главного приближения для  $S$ , в калибровке Ландау, и т.к.  $\sigma_1=0$ , для массового оператора находим следующую спинорную структуру

$$\Sigma^{\alpha\beta} = \delta^{\alpha\beta} \Sigma(P^2).$$

Далее будем рассматривать предел ДНКС:  $\Sigma \neq 0$ .

Разложим волновую функцию  $\chi$  по спинорным структурам

$$\chi^{(s)} = \chi_1^{(s)} + \widehat{P}\chi_2^{(s)} + \widehat{k}\chi_3^{(s)} + \sigma_{\mu\nu}(P_\mu k_\nu - P_\nu k_\mu)\chi_4^{(s)}, \quad (2.67)$$

для скалярных связанных состояний и

$$\chi^{(p)} = \chi_1^{(p)} + \widehat{P}\chi_2^{(p)} + \widehat{k}\chi_3^{(p)} + \sigma_{\mu\nu}(P_\mu k_\nu - P_\nu k_\mu)\chi_4^{(p)}, \quad (2.68)$$

для псевдоскалярных связанных состояний.

Здесь  $\sigma_{\mu\nu} = \left(\frac{i}{2}\right)(\gamma_\mu\gamma_\nu - \gamma_\nu\gamma_\mu)$ .

$\chi_i \equiv \chi_i(k^2, (kP), P^2)$  ( $i = 1, 2, 3, 4$ ) является функцией трех инвариантов:  $k^2$ ,  $(kP)$ ,  $P^2$ ,  $\chi_i$  сгруппируем как,

$$\chi_\mu \equiv P_\mu\chi_2 + k_\mu\chi_3; \quad \chi_{\lambda\mu} \equiv (P_\lambda k_\mu - P_\mu k_\lambda)\chi_4, \quad (2.69)$$

С учетом (2.67) – (2.69) из уравнения (2.66) получим следующие уравнения для скалярных и псевдоскалярных связанных состояний [40]

$$\begin{aligned} & \left[ -\left(\widehat{k} + \frac{\widehat{P}}{2}\right) + \Sigma\left(k + \frac{P}{2}\right) \right] (\chi_1^{(s)}(P, k) + \gamma_\mu\chi_\mu^{(s)}(P, k) + \sigma_{\mu\nu}\chi_{\mu\nu}^{(s)}(P, k)) \times \\ & \times \left[ -\left(\widehat{k} - \frac{\widehat{P}}{2}\right) + \Sigma\left(k - \frac{P}{2}\right) \right] = \\ & = ie^2 \int d\widetilde{k}_1 D_{\mu\nu}(k - k_1) \gamma_\mu [\chi_1^{(s)}(P, k_1) + \gamma_\delta\chi_\delta^{(s)}(P, k_1) + \sigma_{\lambda\rho}\chi_{\lambda\rho}^{(s)}(P, k_1)] \gamma_\nu, \quad (2.70) \end{aligned}$$

$$\left[ -\left(\widehat{k} + \frac{\widehat{P}}{2}\right) + \Sigma\left(k + \frac{P}{2}\right) \right] (\chi_1^{(p)}(P, k) + \gamma_\mu\chi_\mu^{(p)}(P, k) + \sigma_{\mu\nu}\chi_{\mu\nu}^{(p)}(P, k)) \times$$

$$\begin{aligned}
& \times \gamma_5 \left[ - \left( \widehat{k} - \frac{\widehat{P}}{2} \right) + \Sigma \left( k - \frac{P}{2} \right) \right] = \\
& = ie^2 \int d\widetilde{k}_1 D_{\mu\nu}(k - k_1) \gamma_\mu \left[ \chi_1^{(p)}(P, k_1) + \gamma_\delta \chi_\delta^{(p)}(P, k_1) + \sigma_{\lambda\rho} \chi_{\lambda\rho}^{(p)}(P, k_1) \right] \gamma_5 \gamma_\nu. \quad (2.71)
\end{aligned}$$

Пропагатор фотона в калибровке Ландау есть,

$$D_{\mu\nu}(k) = -\frac{1}{k^2} \left( g_{\mu\nu} - \frac{k_\mu k_\nu}{k^2} \right). \quad (2.72)$$

Далее вычислим следы.

а) скалярные связанные состояния [40]:

$$\begin{aligned}
& \left[ \frac{P^2}{4} - k^2 - \Sigma \left( k + \frac{P}{2} \right) \Sigma \left( k + \frac{P}{2} \right) \right] \chi_1^{(s)}(P, k) + 2i \left[ (Pk)^2 - P^2 k^2 \right] \chi_4^{(s)}(P, k) + \\
& + \left[ \left( \Sigma \left( k + \frac{P}{2} \right) + \Sigma \left( k - \frac{P}{2} \right) \right) k_\mu + \left( \Sigma \left( k - \frac{P}{2} \right) - \Sigma \left( k + \frac{P}{2} \right) \right) \frac{P_\mu}{2} \right] \chi_\mu^{(s)}(P, k) = \\
& = -ie^2 \int d\widetilde{k}_1 D_{\nu\nu}(k - k_1) \chi_1^{(s)}(P, k), \quad (2.73)
\end{aligned}$$

$$\begin{aligned}
& \left[ k^2 - \frac{P^2}{4} - \Sigma \left( k + \frac{P}{2} \right) \Sigma \left( k - \frac{P}{2} \right) \right] \chi_\mu^{(s)}(P, k) + \left[ \frac{P_\mu P_\lambda}{2} - 2k_\mu k_\lambda \right] \chi_\lambda^{(s)}(P, k) + \\
& + \left[ k_\mu \left( \Sigma \left( k + \frac{P}{2} \right) + \Sigma \left( k - \frac{P}{2} \right) \right) + \frac{P_\mu}{2} \left( \Sigma \left( k - \frac{P}{2} \right) - \Sigma \left( k + \frac{P}{2} \right) \right) \right] \chi_1^{(s)}(P, k) + \\
& + 2i \left[ \frac{P_\lambda}{2} \left( \Sigma \left( k + \frac{P}{2} \right) + \Sigma \left( k - \frac{P}{2} \right) \right) + k_\lambda \left( \Sigma \left( k - \frac{P}{2} \right) - \Sigma \left( k + \frac{P}{2} \right) \right) \right] \chi_{\lambda\mu}^{(s)}(P, k) =
\end{aligned}$$

$$=ie^2 \int d\tilde{k}_1 [\delta_{\mu\lambda} D_{\nu\nu}(k-k_1) - 2D_{\mu\lambda}(k-k_1)] \chi_\lambda^{(s)}(P, k), \quad (2.74)$$

$$\left[ \frac{P^2}{4} - k^2 + \sum \left( k + \frac{P}{2} \right) \sum \left( k - \frac{P}{2} \right) \right] \chi_{\lambda\mu}^{(s)}(P, k) - \frac{i}{2} [P_\lambda k_\mu - P_\mu k_\lambda] \chi_1^{(s)}(P, k) +$$

$$+ \frac{i}{4} \left[ \sum \left( k + \frac{P}{2} \right) + \sum \left( k - \frac{P}{2} \right) \right] [P_\lambda \chi_\mu^{(s)}(P, k) - P_\mu \chi_\lambda^{(s)}(P, k)] -$$

$$- \frac{i}{2} \left( \sum \left( k - \frac{P}{2} \right) - \sum \left( k + \frac{P}{2} \right) \right) [k_\mu \chi_\lambda^{(s)}(P, k) - k_\lambda \chi_\mu^{(s)}(P, k)] =$$

$$= -ie^2 \int d\tilde{k}_1 [2D_{\mu\nu}(k-k_1) \chi_{\lambda\nu}^{(s)}(P, k_1) - 2D_{\lambda\nu}(k-k_1) \chi_{\mu\nu}^{(s)}(P, k_1) - D_{\nu\nu}(k-k_1) \chi_{\lambda\mu}^{(s)}(P, k_1)] \quad (2.75)$$

(отметим, что уравнения (2.74) и (2.75) получены путем умножения обеих сторон уравнения (2.70) на  $\gamma_\mu$  и  $\sigma_{\lambda\mu}$ , соответственно, а далее вычислением шпуров).

б) псевдоскалярные связанные состояния [40]:

$$\left[ k^2 - \frac{P^2}{4} - \sum \left( k + \frac{P}{2} \right) \sum \left( k - \frac{P}{2} \right) \right] \chi_1^{(p)}(P, k) + 2i [P^2 k^2 - (Pk)^2] \chi_4^{(p)}(P, k) +$$

$$+ \left[ \left( \sum \left( k + \frac{P}{2} \right) + \sum \left( k - \frac{P}{2} \right) \right) \frac{P_\mu}{2} + \left( \sum \left( k - \frac{P}{2} \right) - \sum \left( k + \frac{P}{2} \right) \right) k_\mu \right] \chi_\mu^{(p)}(P, k) =$$

$$= ie^2 \int d\tilde{k}_1 D_{\nu\nu}(k-k_1) \chi_1^{(p)}(P, k_1), \quad (2.76)$$



$$\begin{aligned}
& \left[ k^2 - \frac{P^2}{4} + \sum \left( k + \frac{P}{2} \right) \sum \left( k - \frac{P}{2} \right) \right] \chi_{\mu}^{(p)}(P, k) - \left[ 2k_{\mu}k_{\lambda} - \frac{P_{\mu}P_{\lambda}}{2} \right] \chi_{\lambda}^{(p)}(P, k) - \\
& - \left[ \frac{P_{\mu}}{2} \left( \sum \left( k + \frac{P}{2} \right) + \sum \left( k - \frac{P}{2} \right) \right) + k_{\mu} \left( \sum \left( k - \frac{P}{2} \right) - \sum \left( k + \frac{P}{2} \right) \right) \right] \chi_1^{(p)}(P, k) + \\
& + i \left[ 2k_{\lambda} \left( \sum \left( k - \frac{P}{2} \right) + \sum \left( k + \frac{P}{2} \right) \right) + P_{\lambda} \left( \sum \left( k - \frac{P}{2} \right) - \sum \left( k + \frac{P}{2} \right) \right) \right] \chi_{\mu\lambda}^{(p)}(P, k) = \\
& = ie^2 \int d\tilde{k}_1 \left[ \delta_{\mu\lambda} D_{\nu\nu}(k - k_1) - 2D_{\mu\lambda}(k - k_1) \right] \chi_{\lambda}^{(p)}(P, k), \tag{2.77}
\end{aligned}$$

$$\begin{aligned}
& \left[ k^2 - \frac{P^2}{4} + \sum \left( k + \frac{P}{2} \right) \sum \left( k - \frac{P}{2} \right) \right] \chi_{\lambda\mu}^{(p)}(P, k) + \frac{i}{2} [P_{\lambda}k_{\mu} - P_{\mu}k_{\lambda}] \chi_1^{(p)}(P, k) + \\
& + \frac{i}{4} \left( \sum \left( k - \frac{P}{2} \right) - \sum \left( k + \frac{P}{2} \right) \right) [P_{\lambda} \chi_{\mu}^{(p)}(P, k) - P_{\mu} \chi_{\lambda}^{(p)}(P, k)] + \\
& + \frac{i}{2} \left( \sum \left( k - \frac{P}{2} \right) + \sum \left( k + \frac{P}{2} \right) \right) [k_{\lambda} \chi_{\mu}^{(p)}(P, k) - k_{\mu} \chi_{\lambda}^{(p)}(P, k)] = \\
& = -ie^2 \int d\tilde{k}_1 \times \\
& \times \left[ 2D_{\lambda\nu}(k - k_1) \chi_{\mu\nu}^{(p)}(P, k_1) - 2D_{\mu\nu}(k - k_1) \chi_{\lambda\nu}^{(p)}(P, k_1) + D_{\nu\nu}(k - k_1) \chi_{\lambda\mu}^{(p)}(P, k_1) \right] \tag{2.78}
\end{aligned}$$

(отметим, что уравнения (2.77) и (2.78) получены путем умножения обеих сторон уравнения (2.71) на  $\gamma_{\mu}$  и  $\sigma_{\lambda\mu}$ , соответственно, а далее вычислением шпуров).

Итак, нами получены все уравнения БС для скалярных и псевдоскалярных состояний.

#### 2.1.4. Частное решение уравнений Бете-Солпитера для связанных состояний

Теперь исследуем возможные варианты решения уравнений БС для связанных состояний [40].

Рассмотрим псевдоскалярное связанное состояние нулевой массы. Для этого в уравнениях (2.76) – (2.78) положим , что  $P=0$ . Тогда из (2.69) вытекает, что  $\chi_{\mu\nu}=0$ . Таким образом уравнение (2.78) тривиализируется, а уравнения (2.76) и (2.77) в калибровке Ландау принимают вид

$$\left[k^2 - \sum^2(k^2)\right]\chi_1^{(p)}(k) = -3ie^2 \int d\tilde{k}_1 \chi_1^{(p)}(k_1) \frac{1}{(k-k_1)^2} \quad (2.79)$$

и

$$\left[-k^2 + \sum^2(k^2)\right]\chi_\mu^{(p)}(k) = ie^2 \int d\tilde{k}_1 \left[\delta_{\mu\lambda} D_{\nu\nu}(k-k_1) - 2D_{\mu\lambda}(k-k_1)\right]\chi_\lambda^{(p)}(k_1), \quad (2.80)$$

соответственно.

Рассмотрим решение при  $\chi_1 \neq 0$ ,  $\chi_\mu \equiv 0$ . Введем функцию:

$$f(k) \equiv \left[-k^2 + \sum^2(k^2)\right]\chi_1^{(p)}(k). \quad (2.81)$$

Тогда имеем:

$$f(k) = 3ie^2 \int d\tilde{k}_1 \frac{f(k_1)}{\left[-k_1^2 + \sum^2(k_1^2)\right](k-k_1)^2}. \quad (2.82)$$

Согласно (2.48) в главном приближении уравнение для пропагатора в импульсном пространстве имеет вид:

$$S^{-1}(k) = (m - \hat{k}) - ie^2 \int d\hat{k}_1 D_{\mu\nu}(k - k_1) \gamma_\mu S(k_1) \gamma_\nu. \quad (2.83)$$

В калибровке Ландау :

$$S^{-1}(k) = -\hat{k} + \Sigma(k).$$

Значит,

$$S(k) = \frac{\hat{k} + \Sigma(k)}{-k^2 + \Sigma^2(k)}. \quad (2.84)$$

(2.84) подставляя в (2.83), а далее вычислив тре́йсы для массового оператора получим следующее уравнение

$$\Sigma(k) = m - ie^2 \int d\tilde{k}_1 D_{\nu\nu}(k - k_1) \frac{\Sigma(k_1)}{\Sigma^2(k_1) - k_1^2}.$$

При  $m = 0$  это уравнение точно совпадает с уравнением (2.82) для  $f(k)$ . Тогда согласно (2.81), волновая функция примет вид:

$$\chi_1^p(k) = \frac{\Sigma(k)}{\Sigma^2(k^2) - k^2}. \quad (2.85)$$

Итак (2.85) является решением системы уравнений (2.76) – (2.78) для псевдоскалярных связанных состояний, при  $P = 0$  и  $m = 0$ .

Таким образом, непертурбативные методы, основанные на уравнениях для многочастичных функций Грина, являются весьма важными для изучения амплитуд рассеяния, для рассеяния связанных состояний и изучения такого важного физического эффекта как ДНКС и т.п.

## 2.2. Уравнения для многофермионных функций Грина второго шага итераций в цепочечном приближении

Уравнение итераций в цепочечном приближении (в оригинальной работе [205] используется терминология: “вычисления над пертурбативным вакуумом”) при выключенных фотонных источниках  $J_\mu = 0$  имеет вид:

$$\begin{aligned} \delta(x-y)G^{(i)} + (i\hat{\partial} - m_0) \frac{\delta G^{(i)}}{\delta \eta(y,x)} - ie^2 \int dx_1 D_{\mu\nu}^c(x-x_1) \gamma_\mu \frac{\delta}{\delta \eta(y,x)} \text{tr} \gamma_\nu \frac{\delta G^{(i)}}{\delta \eta(x_1,x_1)} = \\ = \int dx_1 \eta(x,x_1) \frac{\delta G^{(i-1)}}{\delta \eta(y,x_1)} \end{aligned} \quad (2.86)$$

Решением уравнения первого шага есть функционал:

$$G^{(1)} = \left( \frac{1}{2} S_2 \eta^2 + S^{(1)} \eta \right) G^{(0)}. \quad (2.87)$$

Здесь  $G^{(0)}$  есть решение уравнения главного приближения (см. (2.25)).

Уравнения для функций главного приближения и первого шага приведены в разделе 2.1.

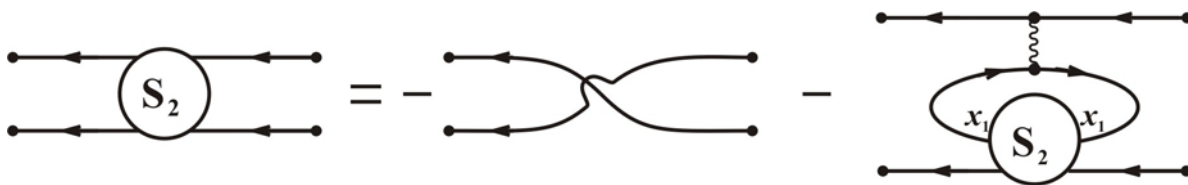


Рис.2.6 Уравнение для двухфермионной функции в цепочечном приближении

Двухфермионную функцию в цепочечном приближении следует подразумевать в виде диаграмм приведенных на рис. 2.7.

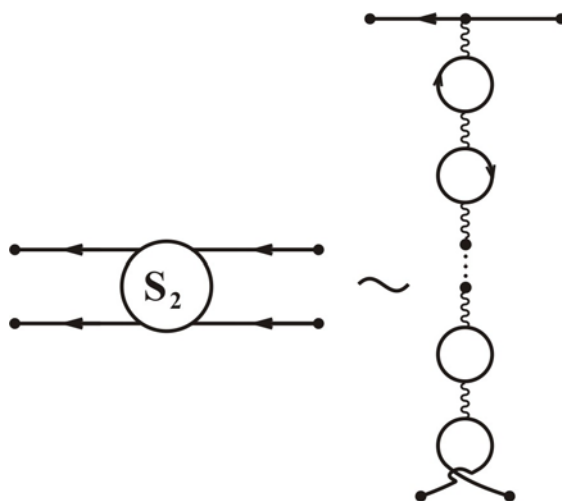


Рис.2.7 Двухфермионная функция в цепочечном приближении

Решение второго шага есть функционал [29]

$$G^{(2)} = P^{(2)}G^{(0)}. \quad (2.88)$$

где  $P^{(2)}$  есть следующий полином

$$P^{(2)}[\eta] = \frac{1}{4!} \text{tr} \int S_4 \begin{pmatrix} x_1 & y_1 \\ x_2 & y_2 \\ x_3 & y_3 \\ x_4 & y_4 \end{pmatrix} \begin{matrix} \alpha_1 \beta_1 \\ \alpha_2 \beta_2 \\ \alpha_3 \beta_3 \\ \alpha_4 \beta_4 \end{matrix} \cdot \eta_{\beta_1 \alpha_1}(y_1, x_1) \eta_{\beta_2 \alpha_2}(y_2, x_2) \eta_{\beta_3 \alpha_3}(y_3, x_3) \eta_{\beta_4 \alpha_4}(y_4, x_4) \times \\ \times dx_1 dx_2 dx_3 dx_4 dy_1 dy_2 dy_3 dy_4 + \\ + \frac{1}{3!} \text{tr} \int S_3 \begin{pmatrix} x_1 & y_1 \\ x_2 & y_2 \\ x_3 & y_3 \end{pmatrix} \begin{matrix} \alpha_1 \beta_1 \\ \alpha_2 \beta_2 \\ \alpha_3 \beta_3 \end{matrix} \cdot \eta_{\beta_1 \alpha_1}(y_1, x_1) \eta_{\beta_2 \alpha_2}(y_2, x_2) \eta_{\beta_3 \alpha_3}(y_3, x_3) dx_1 dx_2 dx_3 dy_1 dy_2 dy_3 +$$

$$\begin{aligned}
& + \frac{1}{2} \text{tr} \int S_2^{(1)} \begin{pmatrix} x_1 & y_1 \\ x_2 & y_2 \end{pmatrix}^{\alpha_1 \beta_1} \cdot \eta_{\beta_1 \alpha_1}(y_1, x_1) \eta_{\beta_2 \alpha_2}(y_2, x_2) dx_1 dx_2 dy_1 dy_2 + \\
& + \text{tr} \int S^{(2)}(x_1 - y_1)^{\alpha_1 \beta_1} \eta_{\beta_1 \alpha_1}(y_1, x_1) dx_1 dy_1 .
\end{aligned} \tag{2.89}$$

Учитывая уравнение главного приближения (2.12) и решение (2.88) из уравнения итераций (2.86) получим уравнение в терминах  $P^{(i)}$  для второго шага [29]:

$$\begin{aligned}
& (i\hat{\partial} - m_0) \frac{\delta P^{(2)}}{\delta \eta(y, x)} - ie^2 \int dx_1 D_{\mu\nu}^c(x - x_1) \left\{ \gamma_\mu \frac{\delta}{\delta \eta(y, x)} \text{tr} \gamma_\nu \frac{\delta P^{(2)}}{\delta \eta(x_1, x_1)} + \right. \\
& \left. + \gamma_\mu S^{(0)}(x - y) \text{tr} \gamma_\nu \frac{\delta P^{(2)}}{\delta \eta(x_1, x_1)} \right\} = \int dx_1 \eta(x, x_1) \left\{ S^{(0)}(x_1 - y) P^{(1)} + \frac{\delta P^{(1)}}{\delta \eta(y, x_1)} \right\}.
\end{aligned} \tag{2.90}$$

Применяя решение (2.89) в (2.90), после соответствующей процедуры получим уравнения для второго шага в цепочечном приближении.

Уравнение для четырехфермионной функции примет вид [29]:

$$\begin{aligned}
& S_4 \begin{pmatrix} x & y \\ x' & y' \\ x'' & y'' \\ x''' & y''' \end{pmatrix} = -S(x - y') S(x' - y) S_2 \begin{pmatrix} x'' & y'' \\ x''' & y''' \end{pmatrix} - \\
& - S(x - y'') S(x'' - y) S_2 \begin{pmatrix} x' & y' \\ x''' & y''' \end{pmatrix} - S(x - y''') S(x''' - y) S_2 \begin{pmatrix} x' & y' \\ x'' & y'' \end{pmatrix} +
\end{aligned}$$

$$+ \frac{e^2}{i} \int dx_1 dx_2 D_c^{\mu\nu}(x_1 - x_2) S(x - x_1) \gamma_\mu S(x_1 - y) \text{tr} \left[ \gamma_\nu S_4 \begin{pmatrix} x_2 & x_2 \\ x' & y' \\ x'' & y'' \\ x''' & y''' \end{pmatrix} \right], \quad (2.91)$$

графический вид которого приведен на рис.2.8.

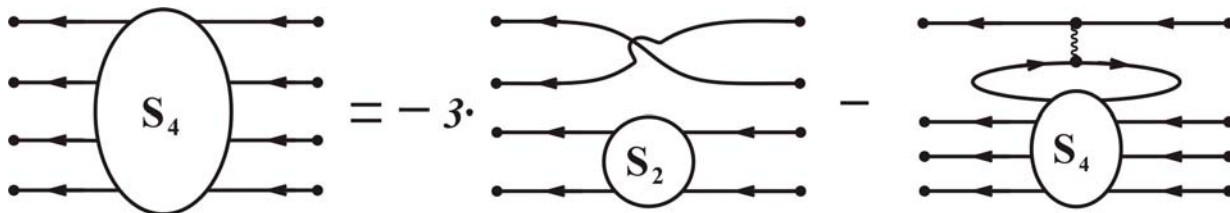


Рис. 2.8 Уравнение для четырехфермионной функции в цепочечном приближении

Уравнение для трехфермионной функции имеет вид [29]:

$$\begin{aligned} S_3 \begin{pmatrix} x & y \\ x' & y' \\ x'' & y'' \end{pmatrix} = & -S(x - y') S(x' - y) S^{(1)}(x'' - y'') - \\ & -S(x - y'') S(x'' - y) S^{(1)}(x' - y') - \\ & -S(x - y') S_2 \begin{pmatrix} x' & y \\ x'' & y'' \end{pmatrix} - S(x - y'') S_2 \begin{pmatrix} x'' & y \\ x' & y' \end{pmatrix} + \\ & + \frac{e^2}{i} \int dx_1 dx_2 D_c^{\mu\nu}(x_1 - x_2) S(x - x_1) \gamma_\mu \text{tr} \left[ \gamma_\nu \cdot S_4 \begin{pmatrix} x_1 & y \\ x_2 & x_2 \\ x' & y' \\ x'' & y'' \end{pmatrix} \right] + \end{aligned}$$

$$+ \frac{e^2}{i} \int dx_1 dx_2 D_c^{\mu\nu}(x_1 - x_2) S(x - x_1) \gamma_\mu S(x_1 - y) \text{tr} \left[ \gamma_\nu \cdot S_3 \begin{pmatrix} x_2 & x_2 \\ x' & y' \\ x'' & y'' \end{pmatrix} \right]. \quad (2.92)$$

Графически оно изображено на рис.2.9.

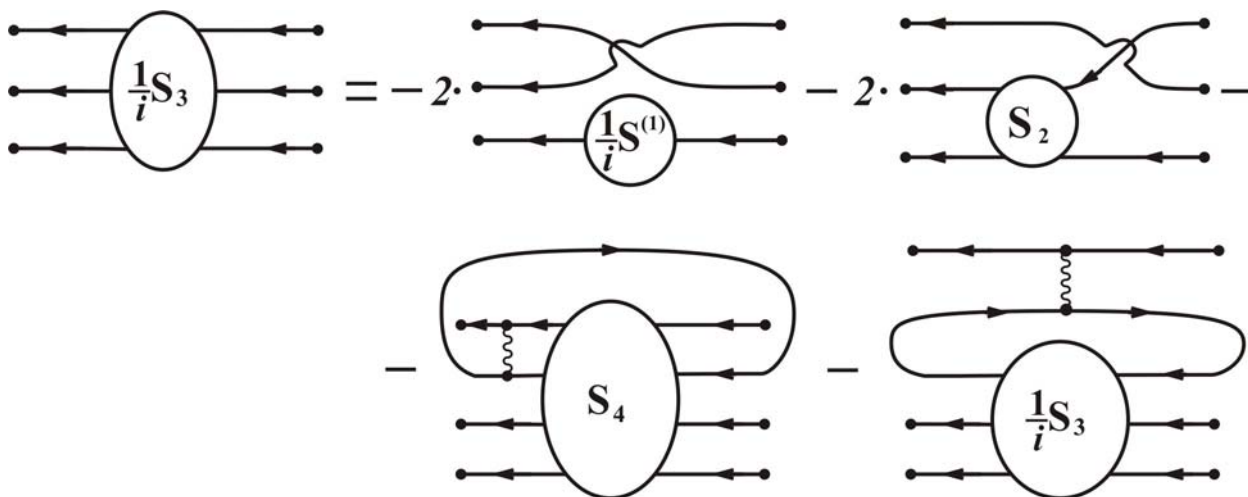


Рис. 2.9 Уравнение для трехфермионной функции Грина в цепочечном приближении

Соответственно получим уравнение для двухфермионной функции первого порядка [29]

$$S_2^{(1)} \begin{pmatrix} x & y \\ x' & y' \end{pmatrix} = -S(x - y') S^{(1)}(x' - y) +$$

$$+ \frac{e^2}{i} \int dx_1 dx_2 D_c^{\mu\nu}(x_1 - x_2) S(x - x_1) \gamma_\mu \text{tr} \left[ \gamma_\nu \cdot S_3 \begin{pmatrix} x_1 & y \\ x_2 & x_2 \\ x' & y' \end{pmatrix} \right] +$$

$$+ \frac{e^2}{i} \int dx_1 dx_2 D_c^{\mu\nu}(x_1 - x_2) S(x - x_1) \gamma_\nu S(x_1 - y) \text{tr} \left[ \gamma_\nu S_2^{(1)} \begin{pmatrix} x_2 & x_2 \\ x' & y' \end{pmatrix} \right], \quad (2.93)$$



а также уравнение для поправки к пропагатору фермиона [29]

$$S^{(2)}(x-y) = \frac{e^2}{i} \int dx_1 dx_2 D_c^{\mu\nu}(x_1-x_2) S(x-x_1) \gamma_\mu \text{tr} \left[ \gamma_\nu S_2^{(1)} \begin{pmatrix} x_1 & y \\ x_2 & x_2 \end{pmatrix} \right]. \quad (2.94)$$

Графические представления этих уравнений приведены на рисунках 2.10 – 2.11, соответственно. Отметим, что на языке диаграмм Фейнмана уравнения (2.91)-(2.94) соответствуют цепочечному приближению. Полученные нами уравнения дают возможность точного описания четырехфермионного, трехфермионного и двухфермионного связанных состояний. Следует отметить также, что без особого труда эти уравнения могут быть переписаны для модели Тирринга.

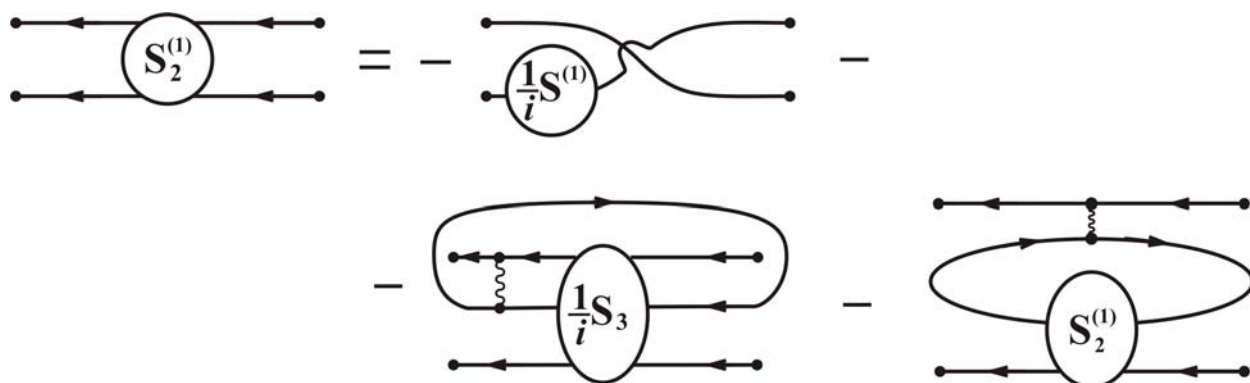


Рис. 2.10 Уравнение для двухфермионной функции Грина первого порядка в цепочечном приближении

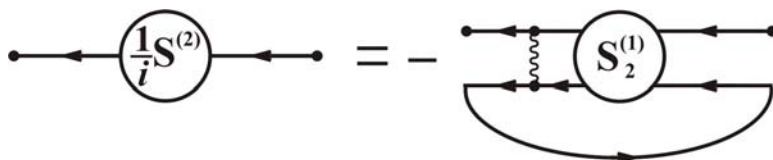


Рис. 2.11 Уравнение для поправки к функции Грина второго порядка в цепочечном приближении

### 2.3. Уравнения второго шага итераций в лестничном приближении

Уравнения главного приближения и первого шага вычислений над непertурбативным вакуумом ( на языке диаграмм Фейнмана – хорошо известное лестничное приближение ) уже нами обсуждались в разделе 2.1. В настоящем разделе исследуем второй шаг итераций ( при выключенных фотонных источниках:  $J_\mu \equiv 0$  ).

Согласно уравнения главного приближения, формулы (2.88) из уравнения итераций (2.50) получим уравнение второго шага в терминах полинома  $P^{(i)}$  :

$$\begin{aligned}
 & -\frac{\delta P^{(2)}}{\delta \eta^{\beta\alpha}(y,x)} + \\
 & + ie^2 \int dx_1 dy_1 D_{\mu\nu}^c(x_1 - y_1) S_{\alpha\beta_1}^{(0)}(x - x_1) \gamma_\mu^{\beta_1\alpha_2} \frac{\delta P^{(2)}}{\delta \eta^{\beta_2\alpha_2}(y_1, x_1)} \gamma_\nu^{\beta_2\alpha_3} S_{\alpha_3\beta}^{(0)}(y_1 - y) + \\
 & + ie^2 \int dx_1 dy_1 D_{\mu\nu}^c(x_1 - y_1) S_{\alpha\beta_1}^{(0)}(x - x_1) \gamma_\mu^{\beta_1\alpha_2} \frac{\delta}{\delta \eta^{\beta_2\alpha_2}(y_1, x_1)} \gamma_\nu^{\beta_2\alpha_3} \frac{\delta P^{(2)}}{\delta \eta^{\beta\beta_1}(y, y_1)} = \\
 & = \int dx_1 dy_1 S_{\alpha\alpha_1}^{(0)}(x - x_1) \eta^{\alpha_1\beta_1}(x_1, y_1) \left\{ S_{\beta_1\beta}^{(0)}(y_1 - y) P^{(1)} + \frac{\delta P^{(1)}}{\delta \eta^{\beta\beta_1}(y, y_1)} \right\}. \quad (2.95)
 \end{aligned}$$

Решение уравнения (2.95) для лестничного приближения также как и в случае цепочечного приближения будем искать в виде (2.89). Учитывая это решение в (2.95) и проводя дифференцирования (а далее, после каждого дифференцирования выключая фермионные источники:  $\eta = 0$ ) получаем нами искомые уравнения для фермионных функций Грина второго шага итераций.

Уравнение для четырехфермионной функции Грина, соответствующее лестничному приближению имеет вид [35]:

$$\begin{aligned}
S_4 \begin{pmatrix} x & y \\ x' & y' \\ x'' & y'' \\ x''' & y''' \end{pmatrix}^{\alpha\beta} &= - \left[ S_{\alpha\beta'}(x-y') S_{\alpha'\beta}(x'-y) S_2 \begin{pmatrix} x'' & y'' \\ x''' & y''' \end{pmatrix}^{\alpha''\beta''} + \right. \\
&+ S_{\alpha\beta''}(x-y'') S_{\alpha''\beta}(x''-y) S_2 \begin{pmatrix} x' & y' \\ x''' & y''' \end{pmatrix}^{\alpha'\beta'} + \\
&\left. + S_{\alpha\beta'''}(x-y''') S_{\alpha'''\beta}(x'''-y) S_2 \begin{pmatrix} x' & y' \\ x'' & y'' \end{pmatrix} \right] + \\
&+ ie^2 \int dx_1 dy_1 D_{\mu\nu}^c(x_1 - y_1) \times \\
&\times S_{\alpha\beta_1}(x-x_1) \gamma_{\mu}^{\beta_1\alpha_2} S_4 \begin{pmatrix} x_1 & y_1 \\ x' & y' \\ x'' & y'' \\ x''' & y''' \end{pmatrix}^{\alpha_2\beta_2} \cdot \gamma_{\nu}^{\beta_2\alpha_3} S_{\alpha_3\beta}(y_1-y). \quad (2.96)
\end{aligned}$$

Уравнение для трехфермионной функции  $S_3$  в лестничном приближении приобретает вид [35]:

$$\begin{aligned}
S_3 \begin{pmatrix} x & y \\ x' & y' \\ x'' & y'' \end{pmatrix}^{\alpha\beta} &= \\
&= -S_{\alpha\beta'}(x-y') S_{\alpha'\beta}(x'-y) S_{\alpha''\beta''}^{(1)}(x''-y'') - S_{\alpha\beta''}(x-y'') S_{\alpha''\beta}(x''-y) S_{\alpha'\beta'}^{(1)}(x'-y') -
\end{aligned}$$

$$\begin{aligned}
& - S_{\alpha\beta'}(x-y) S_2 \begin{pmatrix} x' & y \\ x'' & y' \end{pmatrix}_{\alpha''\beta''}^{\alpha'\beta} - S_{\alpha\beta''}(x-y'') S_2 \begin{pmatrix} x'' & y \\ x' & y' \end{pmatrix}_{\alpha'\beta'}^{\alpha''\beta} + \\
& + ie^2 \int dx_1 dy_1 D_{\mu\nu}^c(x_1 - y_1) S_{\alpha\beta_1}(x - x_1) \gamma_\mu^{\beta_1\alpha_2} S_4 \begin{pmatrix} x_1 & y_1 \\ y_1 & y \\ x' & y' \\ x'' & y'' \end{pmatrix}_{\alpha''\beta''}^{\alpha_2\beta_2} \gamma^{\beta\alpha_3} + \\
& + ie^2 \int dx_1 dy_1 D_{\mu\nu}^c(x_1 - y_1) S_{\alpha\beta_1}(x - x_1) \gamma_\mu^{\beta_1\alpha_2} S_3 \begin{pmatrix} x_1 & y_1 \\ x' & y' \\ x'' & y'' \end{pmatrix}_{\alpha''\beta''}^{\alpha_2\beta_2} \gamma^{\beta_2\alpha_3} S_{\alpha_3\beta}(y_1 - y). \quad (2.97)
\end{aligned}$$

Уравнение для двухчастичной функции первого порядка имеет вид [35]:

$$\begin{aligned}
& S_2^{(1)} \begin{pmatrix} x & y \\ x' & y' \end{pmatrix}_{\alpha'\beta'}^{\alpha\beta} = - S_{\alpha\beta'}(x-y) S_{\alpha'\beta}^{(1)}(x'-y) + \\
& + ie^2 \int dx_1 dy_1 D_{\mu\nu}^c(x_1 - y_1) S_{\alpha\beta_1}(x - x_1) \gamma_\mu^{\beta_1\alpha_2} S_3 \begin{pmatrix} x_1 & y_1 \\ y_1 & y \\ x' & y' \end{pmatrix}_{\alpha'\beta'}^{\alpha_2\beta_2} \gamma^{\beta_2\alpha_3} + \\
& + ie^2 \int dx_1 dy_1 D_{\mu\nu}^c(x_1 - y_1) S_{\alpha\beta_1}(x - x_1) \gamma_\mu^{\beta_1\alpha_2} S_2^{(1)} \begin{pmatrix} x_1 & y_1 \\ x' & y' \end{pmatrix}_{\alpha'\beta'}^{\alpha_2\beta_2} \gamma^{\beta_2\alpha_3} S_{\alpha_3\beta}(y_1 - y). \quad (2.98)
\end{aligned}$$

Уравнение для поправки к пропагатору фермиона второго порядка в лестничном приближении имеет вид [35]:

$$S_{\alpha\beta}^{(2)}(x-y) = ie^2 \int dx_1 dy_1 \times$$

$$\begin{aligned}
& \times D_{\mu\nu}^c(x_1 - y_1) S_{\alpha\beta_1}(x - x_1) \gamma_{\mu}^{\beta_1\alpha_2} S^{(2)}(x_1 - y_1)^{\alpha_2\beta_2} \gamma^{\beta_2\alpha_3} S_{\alpha_3\beta}(y_1 - y) + \\
& + ie^2 \int dx_1 dy_1 D_{\mu\nu}^c(x_1 - y_1) S_{\alpha\beta_1}(x - x_1) \gamma_{\mu}^{\beta_1\alpha_2} S_2 \begin{pmatrix} x_1 & y_1 \\ y_1 & y \end{pmatrix}^{\alpha_2\beta_3}_{\alpha_3\beta} \gamma_{\nu}^{\beta_3\alpha_2}. \quad (2.99)
\end{aligned}$$

Итак нами получены все уравнения второго шага итераций в лестничном приближении.

### Выводы по главе II

1. В рамках нового непертурбативного метода [40, 201, 205, 208, 210] получены уравнения БС для КЭД и приведено в калибровке Ландау к системам из трех уравнений для волновой функции для скалярных и псевдоскалярных связанных состояний, соответственно, где найдено частное решение.

2. Впервые получены уравнения для четырехфермионной и трехфермионной функций Грина в КЭД, как в цепочечном, так и в лестничном приближениях [29, 35]. В обоих этих приближениях также получены уравнения для двухфермионной функции Грина первого порядка, а также получены уравнения для поправки к пропагатору фермиона второго порядка [29, 35].